

Задача обслуживания единичных требований параллельными приборами

И.В. Уразова

ОмГУ им. Ф.М. Достоевского, кафедра ПОЗИ

Омск, 2020

Постановка задачи

Заданы множество V требований единичной длительности, m параллельных идентичных приборов, частичный порядок \leq на V и директивный срок $d \in \mathbf{N}$. Требуется выяснить, существует ли такая функция $\sigma : V \rightarrow \{1, 2, \dots, d\} = D$, что

- соотношение $i \leq j$ влечет неравенство $\sigma(i) < \sigma(j)$; (1)
- для любого $k \in D$ имеется не более m требований $i \in V$, таких, что $\sigma(i) = k$. (2)

Постановка задачи

Заданы множество V требований единичной длительности, m параллельных идентичных приборов, частичный порядок \leq на V и директивный срок $d \in \mathbf{N}$. Требуется выяснить, существует ли такая функция $\sigma : V \rightarrow \{1, 2, \dots, d\} = D$, что

- соотношение $i \leq j$ влечет неравенство $\sigma(i) < \sigma(j)$; (1)

- для любого $k \in D$ имеется не более m требований $i \in V$, таких, что $\sigma(i) = k$. (2)

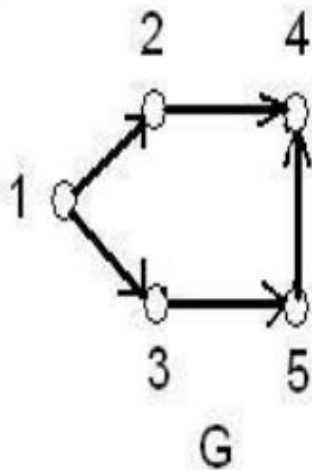
Множество всех расписаний, определенных условиями (1)-(2), обозначим через Σ_d . Задача заключается в минимизации общего времени обслуживания всех требований, т. е.

$$\max_{i \in V} \sigma(i) \rightarrow \min_{\sigma \in \Sigma_d} \quad (3)$$

Постановка задачи (продолжение)

G – граф, задающий частичный порядок на V . Требования множества V обслуживаются m параллельными идентичными приборами.

Пример



$m=3$

1	2	5	4	
	3			



Complexity results for scheduling problems

<http://www.informatik.uni-osnabrueck.de/knust/class/>

previous address:

<http://www.mathematik.uni-osnabrueck.de/research/OR/class/>

Idea: Peter Brucker

Realization: Sigrid Knust

Постановка задачи (продолжение)

- **minimal open:**

$P2|p_i = p;intree;r_i|C_{max}$

$Pm|p_i = 1;intree;r_i|C_{max}$

$Pm|p_i = 1;prec|C_{max}$

$Q2|p_i = p;chains;r_i|C_{max}$

$Q2|p_i = p;intree|C_{max}$

$Q2|p_i = p;outtree|C_{max}$

$Qm|p_i = p;chains|C_{max}$

$P2|p_i = p;chains;r_i|L_{max}$

$Pm|p_i = 1;outtree|L_{max}$

Постановка задачи (продолжение)

PMS (Parallel machine scheduling) NP-трудна (Ullman J.D. [1976])

Lenstra J.K., Rinnooy Kan A.H.G. [1978] (показано, что невозможно построить приближенный полиномиальный алгоритм с относительной погрешностью меньше $\frac{4}{3}$)

$$Pm|prec; p_j = 1|C_{max}$$

Полиномиально разрешимые случаи:

$Pm|tree; p_j = 1|C_{max}$ Hu T.C. [1961]

$P2|prec; p_j = 1|C_{max}$ Fujn M., Kasami T., Ninimiya K. [1969],
Coffman E.G., Graham R.L. [1972]

Содержание доклада

- Построение полиэдральной релаксации и ЦЛП-модели задачи;
- Построение классов неравенств, правильных относительно выпуклой оболочки расписаний;
- Разработка алгоритмов решения задачи на основе полученных полиэдральных свойств и их апробация.

Построение ЦЛП-модели для задачи обслуживания единичных требований параллельными приборами

$G = (V, E)$ – ациклический орграф.

Расписанию $\sigma : V \rightarrow D$ сопоставим $(0, 1)$ -вектор $x = (x_{ik}, i \in V, k \in D) \in \mathbf{R}^{nd}$ по правилу:

$$x_{ik} = \begin{cases} 1, & \text{если } \sigma(i) = k, \\ 0, & \text{иначе.} \end{cases} \quad (4)$$

Построение ЦЛП-модели.

Полиэдральная релаксация многогранника расписаний

$$\sum_{k \in D_i} x_{ik} = 1, \quad i \in V; \quad (5)$$

$$\sum_{i \in V_k} x_{ik} \leq m, \quad k \in D; \quad (6)$$

$$x_{ik} \leq \sum_{l \in D_j, l > k} x_{jl}, \quad (i, j) \in E(G), \quad k \in D_i; \quad (7)$$

$$0 \leq x_{ik} \leq 1, \quad i \in V, \quad k \in D; \quad (8)$$

$$x_{ik} = 0, \quad i \in V, \quad k \in D \setminus D_i. \quad (9)$$

Построение ЦЛП-модели

Полиэдральная релаксация многогранника расписаний

Известные решатели оптимизационных задач:

MATLAB

XPRESS

Gurobi

GAMS

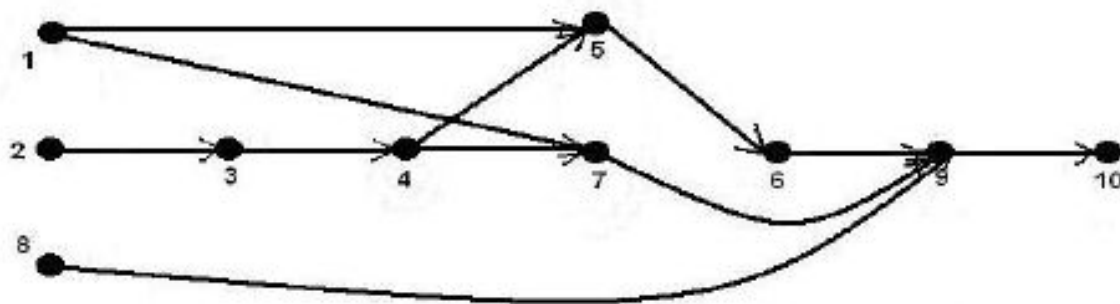
CPLEX

GNU GLPK

итд.

Построение ЦЛП-модели

Полиэдральная релаксация многогранника расписаний



```
*farmPlanning.mod
```

```
1 int n=10;
2 int m=3;
3 range V=1..n;
4 range D=1..m;
5 int c[V][D] = [
6 [10, 184, 63, 265, 191, 157, 114, 293, 269, 244],
7 [57, 281, 232, 168, 99, 4, 29, 119, 48, 54],
8 [323, 146, 39, 1, 2, 123, 174, 187, 197, 198],
9 [54, 217, 147, 115, 18, 199, 256, 262, 170, 98],
10 [287, 238, 313, 303, 176, 46, 151, 77, 282, 68],
11 [255, 276, 326, 327, 200, 128, 87, 97, 275, 7],
12 [123, 30, 221, 18, 2, 301, 90, 89, 192, 226],
13 [274, 238, 158, 67, 243, 153, 150, 311, 243, 35],
14 [196, 126, 240, 199, 107, 118, 49, 73, 139, 263],
15 [169, 324, 246, 113, 55, 215, 161, 20, 229, 165]];
16
17 tuple Edge{
18 int vi;
19 int vj;
20 }
21
22 {Edge} graph_G={<1,2>, <2,3>,<2,4>,<3,5>,<4,5>,<4,8>,
23 <5,6>,<5,7>,<5,9>,<6,10>,<8,9>,<9,10> };
24
25 dvar float x[V][D];
26
27 dexpr float obj= sum(i in V, k in D) c[i][k]*x[i][k];
28 minimize obj;
29
30 subject to {
31
32 forall(i in V)
33 sum(k in D) x[i][k] == 1;
```

```
35 forall(k in D)
36 sum(i in V) x[i][k] <= m;
37
38
39 forall(e in graph_G)
40 forall(k in D)
41 x[e.vi][k] - sum(l in k+1..m)x[e.vj][l] <= 0;
42
43 forall(i in V)
44 forall(k in D)
45 x[i][k] >= 0;
46
47 forall(i in V)
48 forall(k in D)
49 x[i][k] <= 1;
50
51 }
52
```

```

// solution (optimal) with objective 587.5
// Quality There are no bound infeasibilities.
// There are no reduced-cost infeasibilities.
// Maximum Ax-b residual           = 0
// Maximum c-B'pi residual         = 0
// Maximum |x|                     = 1
// Maximum |slack|                 = 3
// Maximum |pi|                    = 448
// Maximum |red-cost|              = 0
// Condition number of unscaled basis = 1.6e+002
//

```

```

x = [[0.5
      0 0.5 0 0 0 0 0 0 0]
     [0.5 0 0 0.5 0 0 0 0 0]
     [0 0 0 0.5 0.5 0 0 0 0]
     [0.5 0 0 0 0.5 0 0 0 0]
     [0 0 0 0 0 1 0 0 0]
     [0 0 0 0 0 0 1 0 0]
     [0 0 0 0 0 0 0 1 0]
     [0 0 0 0.5 0 0.5 0 0 0]
     [0 0 0 0 0 0 1 0 0]
     [0 0 0 0 0 0 0 1 0]];

```

```

// solution (optimal) with objective 642
// Quality Incumbent solution:
// MILP objective                               6.4200000000e+002
// MILP solution norm |x| (Total, Max)         1.00000e+001 1.00000e+000
// MILP solution error (Ax=b) (Total, Max)     0.00000e+000 0.00000e+000
// MILP x bound error (Total, Max)             0.00000e+000 0.00000e+000
// MILP x integrality error (Total, Max)       0.00000e+000 0.00000e+000
// MILP slack bound error (Total, Max)        0.00000e+000 0.00000e+000
//

```

```

< = [[1
      0 0 0 0 0 0 0 0 0]
     [0 0 0 1 0 0 0 0 0]
     [0 0 0 0 1 0 0 0 0]
     [0 0 0 0 1 0 0 0 0]
     [0 0 0 0 0 1 0 0 0]
     [0 0 0 0 0 0 1 0 0]
     [0 0 0 0 0 0 0 1 0]
     [0 0 0 0 0 1 0 0 0]
     [0 0 0 0 0 0 1 0 0]]

```

Root node processing (before b&c):

Real time = 1.25 sec. (1.79 ticks) < □ > < ↶ > < ≡ >

Построение ЦЛП-модели

Полиэдральная релаксация многогранника расписаний

Теорема 1.1. Целочисленные точки полиэдра (5)-(9) и только они являются расписаниями в смысле соотношения (4).

Полиэдр (5)-(9) обозначим $\mathbf{M}_d \subset \mathbf{R}^{nd}$.

Тогда $M_Z = \text{conv}(\mathbf{M}_d \cap \mathbf{Z}^{nd})$ – выпуклая оболочка всех расписаний.

Построение ЦЛП-модели

Построение целевой функции

Для задачи

$$\max_{i \in V} \sigma(i) \rightarrow \min_{\sigma \in \Sigma_d} \quad (3)$$

построим соответствующую задачу целочисленного линейного программирования на полиэдре \mathbf{M}_d с целевой функцией вида

$$h(x) = \sum_{k=1}^d \lambda_k \sum_{i \in V_k} x_{ik} \rightarrow \min_{x \in \mathbf{M}_d} \quad (10)$$

При этом $\lambda_1 \ll \lambda_2 \ll \dots \ll \lambda_d$.

Условия существования расписаний

Вершинной базой орграфа G называется такое множество вершин $B \subseteq V(G)$, что полустепень захода каждой из них равна нулю.

$$G - B_1 = G_1, G_1 - B_2 = G_2, \dots, G_s - B_{s+1} = G_{s+1}. \\ B_1, B_2, \dots, B_t.$$

Теорема 1.4. Пусть B_1, B_2, \dots, B_t – разбиение множества вершин орграфа G на базы. Если $d \geq \sum_{p=1}^t \lceil \frac{|B_p|}{m} \rceil$, то множество Σ_d непусто.

Условия существования расписаний

Утверждение 1.1.

1. Если $|B_{\max}| \leq m$, то $d_{\min} = |P_{\max}| + 1$.
2. Если $|B_{\max}| > m$, то $|P_{\max}| + 1 < d_{\min} < \rho_m$.

Здесь

$|B_{\max}|$ – мощность максимальной базы орграфа G ;

$|P_{\max}|$ – длина максимального по числу дуг пути в орграфе G ;

$\rho_m = \sum_{s=1}^t \lceil \frac{|B_s|}{m} \rceil$ – плотность орграфа G относительно m

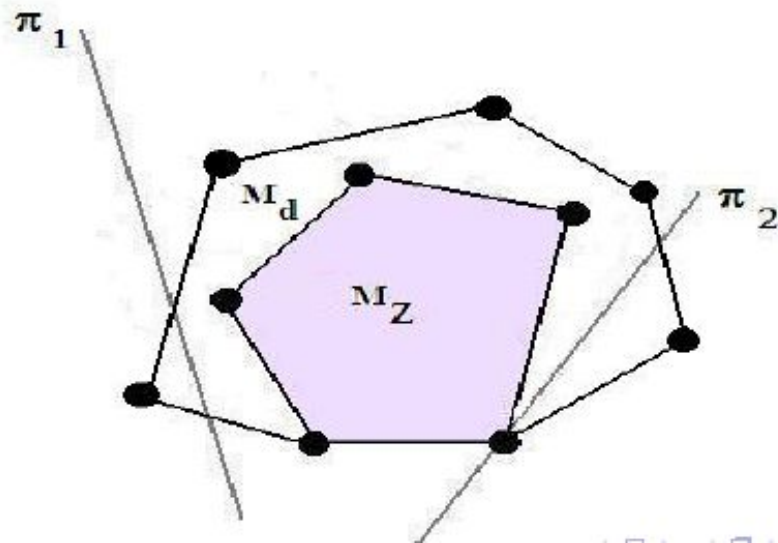
(m -плотность орграфа G).

Построение правильных неравенств

Неравенство $ax \leq a_0$ называется **правильным** к многограннику M_Z , если для всех $x \in M_Z$ выполнено $ax \leq a_0$.

Правильное неравенство называется **опорным**, если существует $\bar{x} \in M_Z$, что $a\bar{x} = a_0$.

Будем говорить, что неравенство $ax \leq a_0$ отсекает точку \tilde{x} , если $a\tilde{x} > a_0$.



Классы правильных неравенств для многогранника расписаний

Пусть $P \subset G$ – путь, $k \in D$. Тогда неравенство

$$\sum_{j \in V(P)} x_{jk} \leq 1 \quad (11)$$

является правильным к многограннику M_Z .

Теорема 2.1. Пусть $P \subset G$ – путь, $k \in D$, $i \in V(P)$ – первая вершина пути P , $z \in V(P)$ – последняя вершина пути P . Тогда неравенство вида

$$\sum_{l=1}^{k-1} x_{zl} + \sum_{j \in V(P)} x_{jk} + \sum_{l=k+1}^d x_{il} \leq 1 \quad (12)$$

правильно относительно M_Z .

Класс неравенств вида (11) обозначим через I , вида (12) через I_Z .

Классы правильных неравенств для многогранника расписаний

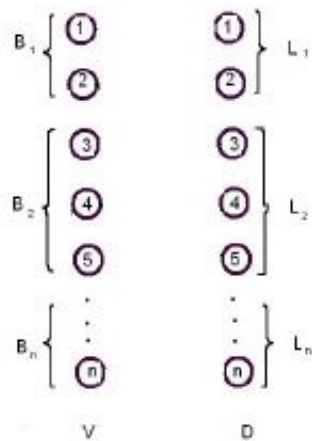
Теорема 2.2. Пусть $V_1, V_2, \dots, V_t \subset V$ – вершинно-непересекающиеся подмножества множества вершин из V в орграфе G , $k \in D$. При этом для любых $i \in \{1, 2, \dots, t-1\}$ множества V_i, V_{i+1} индуцируют полный двудольный орграф с началами дуг в V_i и концами в V_{i+1} . Тогда неравенство

$$\sum_{i \in V_1} \sum_{l=k}^d x_{il} + \sum_{j=1}^t \sum_{i \in V_j} x_{ik} + \sum_{i \in V_t} \sum_{l=1}^k x_{il} \leq \max(|V_1|, \dots, |V_t|) \quad (13)$$

является правильным относительно M_Z .

Класс неравенств вида (13) обозначим через ID .

Некоторые условия опорности



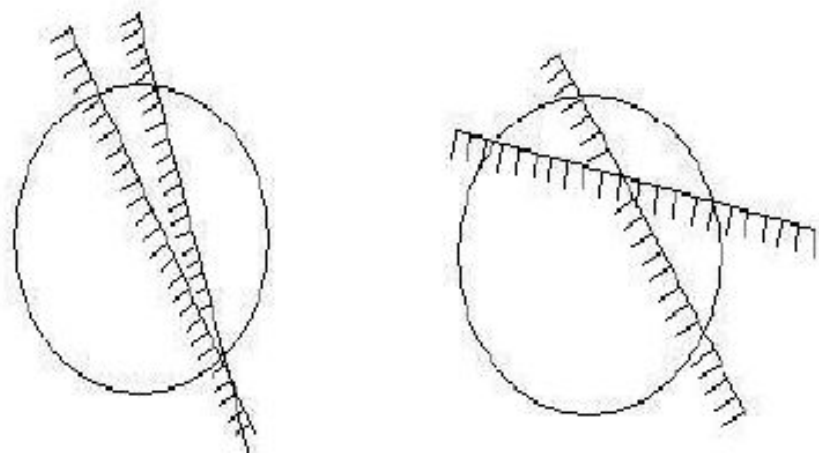
$p(i)$ – уровень базы, содержащей вершину i .

Теорема 2.3. Пусть $P \subset G$ путь, $\{i_1, i_2, \dots, i_p\} \subseteq V(P)$, $k \in \bigcup_{s=1}^p L_{p(i_s)}$. Тогда неравенства классов I, IZ являются опорными к многограннику M_Z .

Сравнение построенных неравенств

Неравенство $ax \leq a_0$ не сильнее неравенства $bx \leq b_0$ относительно \mathbf{M}_d , если $\{x \in \mathbf{M}_d \mid ax > a_0\} \subseteq \{x \in \mathbf{M}_d \mid bx > b_0\}$.

Будем говорить, что неравенства $ax \leq a_0$ и $bx \leq b_0$ эквивалентны (относительно \mathbf{M}_d), если выполнено равенство $\{x \in \mathbf{M}_d \mid ax = a_0\} = \{x \in \mathbf{M}_d \mid bx = b_0\}$.



Сравнение построенных неравенств

Утверждения 2.1. – 2.4.

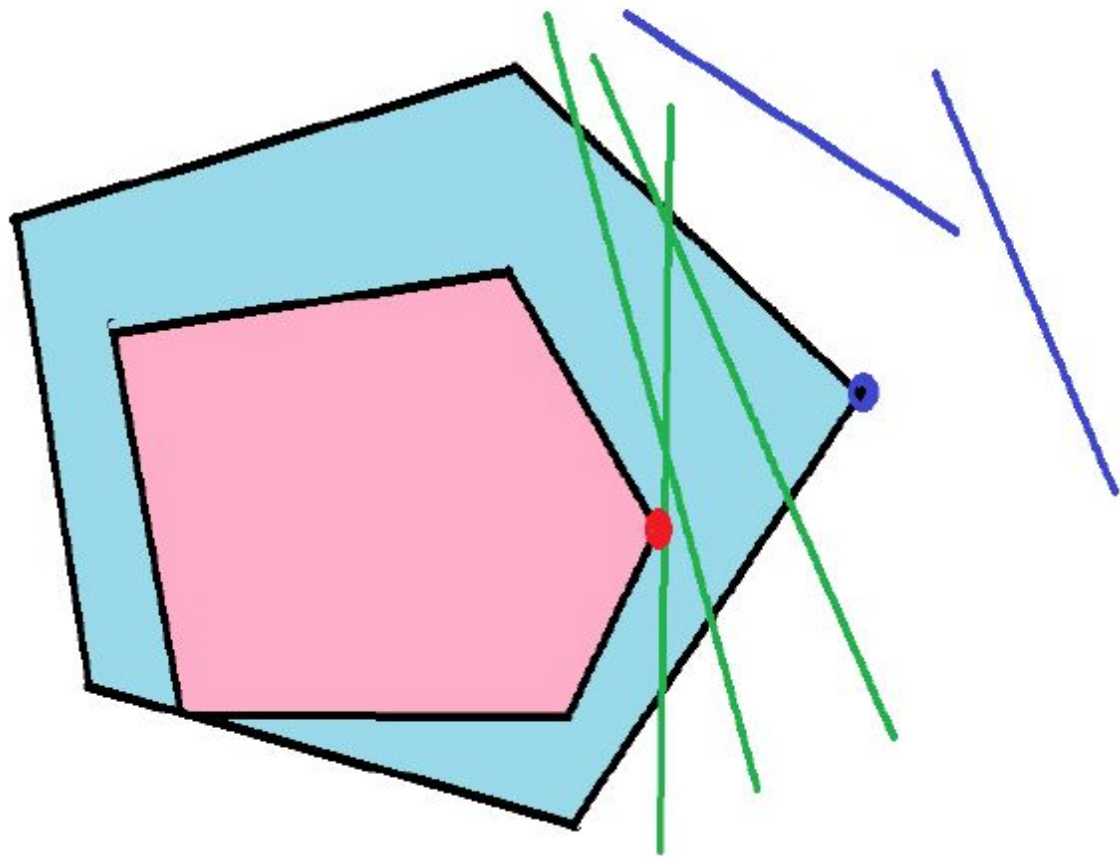
$$\sum_{j \in V(P)} x_{jk} \leq 1 \quad (11)$$

$$\sum_{j \in V(P)} x_{jk} + \sum_{l=k+1}^d x_{il} \leq 1 \quad (12)$$

$$\sum_{l=1}^{k-1} x_{zl} + \sum_{j \in V(P)} x_{jk} \leq 1 \quad (13)$$

$$\sum_{l=1}^{k-1} x_{zl} + \sum_{j \in V(P)} x_{jk} + \sum_{l=k+1}^d x_{il} \leq 1 \quad (14)$$

Решение задачи идентификации



Решение задачи идентификации

Алгоритм SPI решения задачи идентификации неравенства класса I

Дано $\bar{x} \in \mathbf{M}_d \setminus \mathbf{M}_Z$.

k -я итерация, $k = 1, 2, \dots, n$.

Шаг 1. В графе $G_{\bar{x},k}$ находим максимальный по весу путь $P_{\bar{x},k}$.

Шаг 2. Если $\sum_{j \in V(P_{\bar{x},k})} \bar{x}_{jk} > 1$, то шаг 4. Иначе – шаг 3.

Шаг 3. Если $k < d$, то переход на $(k + 1)$ -ю итерацию. Иначе – конец: в классе I нет неравенства, отсекающего точку \bar{x} .

Шаг 4. Конец: неравенство $\sum_{j \in V(P_{\bar{x},k})} x_{jk} \leq 1$ является искомым неравенством, отсекающим точку \bar{x} .

Теорема 2.4. Алгоритм SPI решения задачи идентификации неравенств класса I имеет трудоемкость $O(n^3)$.

Решение задачи идентификации

Теорема 2.5. Алгоритм *SPZ* решения задачи идентификации неравенств класса *IZ* имеет трудоемкость $O(n^3)$.

Для класса *ID* разработана эвристическая процедура, основанная на задаче поиска максимального по весу полного двудольного подграфа в заданном вершинно-взвешенном двудольном орграфе.

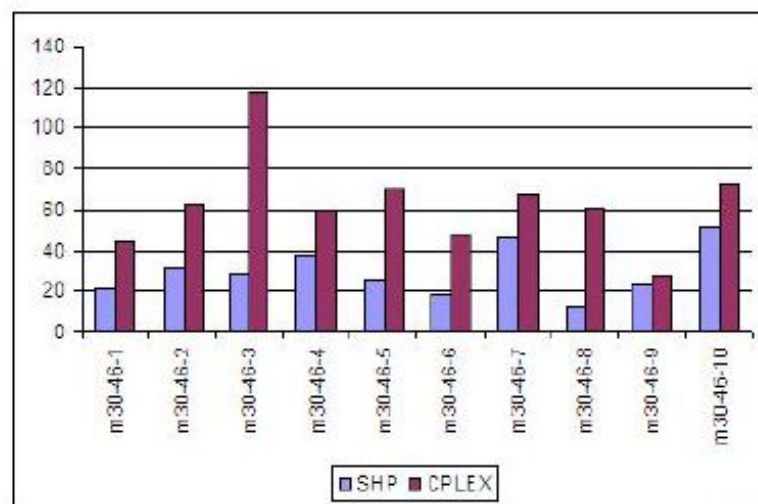
Апробация алгоритмов

Цели:

- сравнение алгоритма *SHP* с пакетом CPLEX по количеству отсечений и времени работы;
- сравнение алгоритмов *IPI* и *SHP* по количеству отсечений и времени работы;
- сравнение работы алгоритма *SHP* по количеству отсечений и времени на задачах с различным числом параллельных приборов $m = 2, 3, 4, 5$;
- поиск таких зависимостей между коэффициентами λ_k целевой функции (10), которые позволили бы избавиться от их экспоненциального роста.

Таблица 3.1.2. Сравнение алгоритма *SHP* и пакета *CPLX* по количеству отсечений и времени (сек.)

n	Inq_{med}	CPL_{med}	T_{med}	T_{med}^{CPL}
10	5	15	0,087	0,391
18	9	17	1,226	3,157
30	29,5	71	15,245	55,273
60	78,5	222	2658,043	8839,012
120	244	-	3712,15	-



Выбор коэффициентов целевой функции

$$h(x) = \sum_{k=1}^d \lambda_k \sum_{i \in V_k} x_{ik} \rightarrow \min_{x \in \mathbf{M}_d} \quad (10)$$

$$m \sum_{\ell=1}^k \lambda_{\ell} \leq \lambda_{k+1}, \quad k = 1, 2, \dots, d-1 \quad (\text{Теоремы 1.2 и 1.3})$$

$$\lambda_k = f_{lin}(k) = nk$$

$$\lambda_k = f_{sq}(k) = nk^2$$

Список публикаций по теме диссертации

1. Симанчев Р.Ю., Уразова И.В. *Целочисленная модель задачи минимизации общего времени обслуживания параллельными приборами единичных требований с предшествованиями* // **Автоматика и телемеханика**, 2010. N 10. – С. 100-106.
2. Симанчев Р.Ю., Уразова И.В. *Многогранник расписаний обслуживания идентичных требований параллельными приборами* // **Дискретный анализ и исследование операций**, 2011. N 1. – С. 82-97.
3. Уразова И.В. *Класс правильных неравенств для задачи упаковки вершин ациклического орграфа в полосу заданной ширины* // **Вестник ОмГУ им. Ф.М. Достоевского**, 2011. N2(60). – С. 48 52.

СПАСИБО ЗА ВНИМАНИЕ!